

УДК 537.531.3

УГЛОВЫЕ ХАРАКТЕРИСТИКИ КОГЕРЕНТНОГО ПЕРЕХОДНОГО ИЗЛУЧЕНИЯ ОТ СГУСТКОВ УЛЬТРАРЕЛЯТИВИСТСКИХ ЭЛЕКТРОНОВ РАЗЛИЧНОЙ ФОРМЫ

В.А. Нагорный, А.П. Потылицын

Томский политехнический университет

E-mail: VicNagornyi@yandex.ru

Рассматриваются характеристики когерентного переходного излучения (КПИ), возникающего при пролете сгустка ультрарелятивистских электронов через границу раздела сред. Проведено сравнение двух существующих подходов к описанию излучения. Показано, что оба подхода дают аналогичные результаты. Исследованы характеристики КПИ, возбуждаемого электронными сгустками различной формы (сфера, диск, конус) при пересечении наклонной границы раздела сред. Расчеты показали, что при некоторых значениях параметров сгустка угловые характеристики КПИ существенно отличаются от излучения одного электрона. Как показали расчеты, наряду с максимумами переходного излучения “вперед” и “назад” (ПИВ и ПИН) в угловом распределении КПИ могут присутствовать дополнительные максимумы под углами значительно превышающими γ^{-1} (γ – Лоренц-фактор электрона). Наличие дополнительных максимумов в угловом распределении можно трактовать как проявление квазичеренковского механизма КПИ. Однако, интенсивность квазичеренковских максимумов значительно ниже, чем интенсивность максимумов ПИВ (ПИН).

1. Введение

Когерентное переходное излучение (КПИ) [1] широко используется для измерения длины коротких электронных сгустков в интервале $\sim 0,1 \dots 1$ мм [2–4]. В большинстве случаев КПИ детектируется под углом 90° относительно электронного пучка, от мишени наклоненной под углом $\psi = 45^\circ$. В каждый отдельный момент времени излучают частицы электронного сгустка, взаимодействующие с плоскостью мишени [5]. Ясно, что для такой геометрии размеры и форма сгустка в поперечном направлении будут определять характеристики КПИ наряду с продольным размером сгустка.

Представляет несомненный интерес сравнить угловые распределения КПИ для сгустков различной формы (цилиндр, шар, конус) с тем, чтобы выяснить возможность использования этой дополнительной информации по сравнению со спектральными измерениями для прецизионной диагностики электронных сгустков.

2. Теоретическая модель

В работе [1] для спектрально-угловой плотности КПИ (когерентного переходного излучения) в расчете

где N_e – число электронов в сгустке, $I_0(\omega, \theta)$ – спектрально-угловая плотность переходного излучения

одиночного точечного заряда, а величина $|\Phi|^2$ – описывает характер интерференции излучений частиц сгустка данной структуры и называется форм-фактором сгустка.

Форм-фактор определяется соотношением

$$|\Phi|^2 = \left| \iiint_V \gamma(\xi, \psi, \zeta) e^{i\varphi(\xi, \psi, \zeta)} d\xi d\psi d\zeta \right|^2,$$

где V – объем сгустка, $\gamma(\xi, \psi, \zeta)$ – нормированная (на $\Phi(\xi, \psi, \zeta)$) плотность распределения частиц в сгустке, а $\varphi(\xi, \psi, \zeta)$ определяет разность фаз излучений отдельных частиц сгустка и может быть определена из следующего

рассмотрения.

Пусть границу раздела сред последовательно пересекают два электрона (рис. 1).

В момент времени $t_1 = 0$ первый электрон e_1 , движущийся со скоростью βc , пересекает границу раздела сред в точке O ($\xi_1 = 0; \zeta_1 = 0$). Нормаль к границе раздела наклонена под углом ψ относительно импульса электрона. Поле переходного излучения первого электрона на больших расстояниях от точки O можно записать в виде

$$E_1 = E_0 e^{i k R_1 - i \omega \tau_1},$$

где E_0 – поле излучения от одного электрона, k – волновой вектор, R_1 – вектор проведенный из точки пересечения зарядом границы раздела сред в точку наблюдения, ω частота фотона ПИ.

А ($\xi_2 = \xi_1 + \xi, \zeta_2 = \zeta_1 + \zeta$), мишень в точке A ($\xi_2 = \xi_1 + \xi, \zeta_2 = \zeta_1 + \zeta$), пересекает второй электрон e_2 в точке B ($\xi_2 = \xi_1 + \xi, \zeta_2 = \zeta_1 + \zeta$). Тогда следующим образом

В дальней зоне для фотона ПИ испущенного под углом θ , из элементарных геометрических построений (см. рис. 1), легко получить

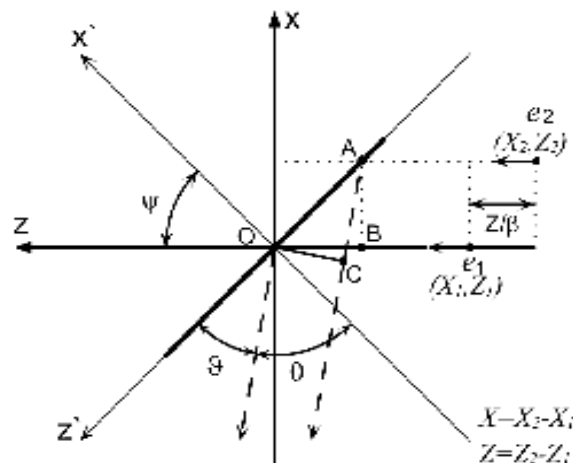


Рис. 1. Два электрона пересекают наклонную границу раздела сред

$$|R_2| = |R_1| + \frac{\xi \sin \theta}{\cos \psi}, \tau = \frac{\xi}{\beta \chi} - \frac{\xi \tan \psi}{\beta \chi}.$$

Следовательно, разность фаз ПИ для полей $\Phi(\xi, \zeta) = \frac{\omega}{c} \left(\frac{\xi \sin \theta}{\cos \psi} - \frac{\xi \tan \psi}{\beta \chi} + \frac{\xi}{\alpha} \right)$ зависит от координат ξ, ζ соотношением

$$\Phi_\tau = \frac{1}{\pi^2} \int_0^{\frac{\pi}{2}} \int_0^{2\pi} \frac{\omega}{c} \rho \cos \psi \left(\frac{\beta \sin \theta - \sin \psi}{\beta \cos \psi} \right) \rho^\delta \rho^\delta \Phi =$$

сд $\Phi = \frac{2}{\pi^2} \int_0^{\frac{\pi}{2}} J_0 \left[\frac{\omega}{\chi} \rho \left(\frac{\beta \sin \theta - \sin \psi}{\beta \cos \psi} \right) \right] \rho^\delta \rho^\delta =$

$$\frac{2\beta^2 \cos \psi}{\rho \omega (\beta \sin \theta - \sin \psi)} J_1 \left[\frac{\rho \omega (\beta \sin \theta - \sin \psi)}{\beta^2 \cos \psi} \right],$$

$$\Phi_\lambda = \frac{1}{\lambda} \int_0^{\frac{\omega}{\beta^2 \delta \zeta}} \frac{2\beta^2 \chi}{\omega \lambda} \sin \left(\frac{\lambda \omega}{2\beta^2 \chi} \right),$$

$$|\Phi|^2 = \frac{16\beta^4 \chi^4 \cos^2 \psi}{\pi^2 \lambda^2 \omega^4 (\beta \sin \theta - \sin \psi)^2} \times$$

$$J_1 \left[\frac{\rho \omega (\beta \sin \theta - \sin \psi)}{\beta^2 \cos \psi} \right] \sin \left(\frac{\lambda \omega}{2\beta^2 \chi} \right).$$

Здесь $J_0(x)$ и $J_1(x)$ – функции Бесселя.

Вообще говоря, для произвольной (хотя и азимутально-симметричной) мишени $|\Phi|^2 = \frac{4\pi^2 \beta^{2\chi^2} \cos^2 \psi}{\zeta^2 \omega^2 (\beta \sin \theta - \sin \psi)^2} \times$ не разделяется на произведение форм-факторов

$$\left| \int_0^{\frac{\omega}{\beta^2 \delta \zeta}} \alpha(\zeta) J_1 \left[\frac{\alpha(\zeta) \omega (\beta \sin \theta - \sin \psi)}{\beta^2 \cos \psi} \right] \sin \left(\frac{\omega \zeta}{\beta^2 \delta \zeta} \right) d\zeta \right|^2.$$

В работе [8] получен форм-фактор для одно- и радиально-симметричной мишени

$$|\Phi|^2 = \left(\frac{4\beta^2 \chi^2 J_1 \left[\frac{\rho \omega \cos \vartheta}{\chi} \right] \sin \left(\frac{\omega \lambda}{2\beta^2 \chi} \right)}{\rho^2 \omega^2 \cos \vartheta} \right)^2.$$

получи

Выражение (4), при соответствующем определении величины ω , совпадает с формулой (3), полученной в [8].

Спектрально-угловое распределение ПИ одиночного заряда, движущегося перпендикулярно к плоскости мишени, описывается формулой

$$I_0(\omega, \theta) = \frac{4\pi^2 \alpha^2}{\zeta^2 \omega^2 \sin^2 \theta} \left(\frac{\beta \sin \theta}{1 - \beta^2 \cos^2 \theta} \right)^2 \times$$

где $\alpha =$ Так сгустка фактор $\times \left| \int_0^{\frac{\omega}{\beta^2 \delta \zeta}} \alpha(\zeta) J_1 \left[\frac{\omega \alpha(\zeta)}{\chi} \sin \theta \right] \sin \left(\frac{\omega \zeta}{\beta^2 \delta \zeta} \right) d\zeta \right|^2$ – КПИ форм-фактор

В работе [5] авторы предложили более наглядный способ описания ПИ сгустка заряженных частиц как интерференцию излучений последовательности тонких

слоев сгустка, последовательно пересекающих границу раздела сред (рис. 2). На рисунке плоскость xy представляет собой плоскость мишени, а плоскость xz – границу раздела сред.

Рассмотрим сгусток, движущийся со скоростью $v = \beta c$ в направлении z . Пусть θ – угол наблюдения, $\chi = \frac{1}{\beta}$ – радиус-вектор, $\alpha(\zeta) = \frac{\sigma}{\pi \sin \theta} \left(\frac{\beta \sin \theta}{\omega(1 - \beta^2 \cos^2 \theta)} \right)$ – амплитуда излучения от слоя сгустка, $\omega = \frac{2\pi}{\lambda}$ – частота излучения, ζ – расстояние от слоя сгустка до наблюдателя, $\tau = \frac{\zeta}{c}$ – время задержки сигнала. Тогда для амплитуды излучения от сгустка получим выражение

$$I(\omega, \theta) = \frac{\sigma^2}{\pi^2 \sin^2 \theta} \left(\frac{\beta \sin \theta}{\omega(1 - \beta^2 \cos^2 \theta)} \right)^2 \times \left| \int_0^{\frac{\omega}{\beta^2 \delta \zeta}} \alpha(\zeta) J_1 \left[\frac{\omega \alpha(\zeta)}{\chi} \sin \theta \right] \exp(i\omega \tau) d\zeta \right|^2. \quad (3)$$

Сравнивая выражения (5) и (7), характеризующие угловое распределение КПИ, можно убедиться, что оба рассмотренных подхода дают аналогичные результаты с точностью до постоянной величины.

3. Коherentное переходное излучение от сгустков различной формы

Рассмотрим КПИ от наклонной мишени для сгустков различной формы – цилиндра, сферы и т.д. Для удобства будем использовать угол $\vartheta = \pi/2 - \theta$ – угол между направлением движения сгустка и нормалью к мишени.

Спектр

$$I(\omega, \vartheta) = \frac{\alpha^2 \beta^2 \cos^2 \psi}{\pi^2 \cos^2 \vartheta} \times$$

$$I(\omega, \vartheta) = \frac{4\alpha^2 \beta^4 \chi^2 \cos^4 \psi}{\zeta^2 \omega^2 (\beta \cos \vartheta - \sin \psi)^2 \cos^2 \vartheta} \times$$

$$\frac{(\beta \sin \psi \cos \vartheta - \cos^2 \vartheta)^2}{((1 - \beta \sin \psi \cos \vartheta)^2 - \beta^2 \cos^2 \psi \sin^2 \vartheta)^2} \times$$

$$\left| \int_0^{\frac{\omega}{\beta^2 \delta \zeta}} \alpha(\zeta) J_1 \left[\frac{\omega \alpha(\zeta)}{\chi} \left(\frac{\beta \cos \vartheta - \sin \psi}{\beta \cos \psi} \right) \right] \sin \left(\frac{\omega \zeta}{\beta^2 \delta \zeta} \right) d\zeta \right|^2. \quad (5)$$

КП

$\alpha(\zeta) = \rho$, $\zeta = \frac{R}{\beta^2 \delta \zeta}$ – цилиндрической формы сгустка. Следовательно, спектрально-угловая плотность КПИ от сгустка ци-

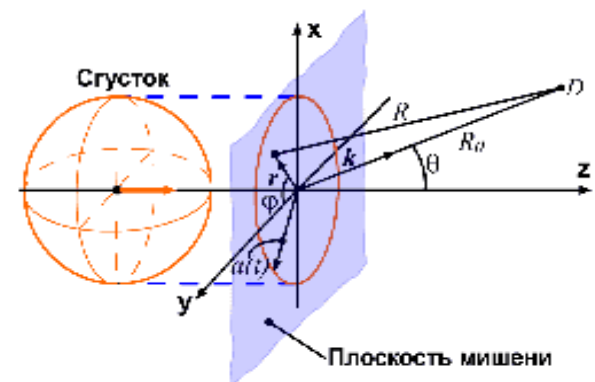


Рис. 2. Излучение от тонкого слоя сгустка

$$I(\alpha, \vartheta) = \frac{9\alpha^N \beta^4 \chi^2 \cos^4 \psi}{4\pi^{2p6} \omega^2 (\beta \cos \vartheta - \sin \psi)^2 \cos^2 \vartheta} \times \frac{(\beta \sin \psi \cos \vartheta - \cos^2 \vartheta)^2}{((1 - \beta \sin \psi \cos \vartheta)^2 - \beta^2 \cos^2 \psi \sin^2 \vartheta)^2} \times \left| \int_0^{\lambda} \zeta \vartheta \left[\frac{\omega^p}{\chi} \zeta \left(\frac{\beta \cos \vartheta - \sin \psi}{\beta \cos \psi} \right) \right] \varepsilon \left(\frac{\omega^{\frac{p}{2}}}{\chi} \right) \varepsilon \zeta \right|^2 \cdot \quad (6)$$

Естественные науки

ение
з
С т ь
о м ы
= $\rho \zeta / \lambda$,
КПИ от
жением

В работе представлены результаты расчетов угловых характеристик КПИ от наклонной мишени для сгустков различной формы $N = 10^{10}$, $\gamma = 22$. Расчеты проводились для

На рис. 4–6 представлены угловые характеристики КПИ для цилиндрического сгустка.

Угловое распределение КПИ от цилиндрического сгустка, рассчитанное для длины волны $\lambda = 2l$ и $\gamma \ll 1$, представленное на рис. 4, практически не отличается от углового распределения ПИ от одного электрона вблизи угла $\vartheta = \pm \pi/4$. Положительные значения ϑ соответствуют ПИ назад (ПИН) отрицательные – ПИ вперед (ПИВ). Так как угловые распределения ПИН и ПИВ симметричны относительно угла $\vartheta = 0$, все что сказано ниже о ПИН относится и к ПИВ.

Сплошной линией на рис. 5 показано угловое распределение ПИ от цилиндрического сгустка, рассчитанному для длины волны $\lambda = 2l$ и $\gamma \ll 1$. В этом случае все частицы сгустка излучают в направлении $\vartheta = (\pi/2 - \psi) \pm \gamma^{-1}$, интенсивность ПИН, пропорциональна квадрату числа частиц в сгустке. Интенсивность ПИН убывает на 3 порядка с ростом ϑ от $\vartheta = (\pi/2 - \psi) + \gamma^{-1}$ до $\vartheta = \pi$. Штриховая линия на рис. 5 соответствует угловому распределению ПИ для длины волны $\lambda = l$ $\vartheta > (\pi/2 - \psi) + \gamma^{-1}$ где, интенсивность ПИН при угла $\vartheta \approx 5\pi/8$ падает быстрее, и убывает на 3 порядка при

Штриховая линия на рис. 6 соответствует угловому распределению ПИ для длины волны $\lambda = 2l$ и $\vartheta = (\pi/2 - \psi) + \gamma^{-1}$ интенсивность ПИН с ростом ϑ до $\vartheta = \pi$ убывает уже на 8 порядков. Интенсивности ПИН в направления $\vartheta > (\pi/2 - \psi) + \gamma^{-1}$ для по всему, обусловлено вкладом составляющей $|\Phi_T|^2$, характеризующей поперечные размеры сгустка.

На рис. 7 представлена зависимость величин $|\Phi_T|^2$ и $|\Phi_A|^2$ от соотношений λ/γ и λ/l соответственно. Из рисунка видно, что при $\lambda/l = 2$ и $\lambda/\gamma = 10$ интенсивность ПИН в направлении $\vartheta = (\pi/2 - \psi) + \gamma^{-1}$ определяется только продольной составляющей $|\Phi_A|^2$ фактора сгустка. В направлении $\vartheta > (\pi/2 - \psi) + \gamma^{-1}$ интенсивность ПИН определяется одновременно и продольной и поперечной составляющей форм-фактора сгустка. Причем, чем больше величина угла ϑ , тем в большей

степени интенсивность излучения определяется поперечной составляющей $|\Phi_T|^2$. При уменьшении длины волны $\vartheta > (\pi/2 - \psi) + \gamma^{-1}$ составляющей в направлении $\vartheta = (\pi/2 - \psi) + \gamma^{-1}$ возрастает. В направлении $\vartheta = (\pi/2 - \psi) + \gamma^{-1}$ при уменьшении длины волны, вплоть до $\lambda/\gamma = 1$, интенсивность излучения определяется только продольной составляющей $|\Phi_A|^2$. При $\lambda/l = 1$ интенсивность ПИН в направлении $\vartheta > (\pi/2 - \psi) + \gamma^{-1}$ определяется одновременно и продольной и поперечной составляющей форм-фактора сгустка (см. вставку рис. 7).

На рис. 9–13 представлены угловые характеристики сферического сгустка. Угловое распределение КПИ от сферического сгустка, рассчитанное для длины волны $\lambda = 4\gamma$, представленное на рис. 9, практически не отличается от углового распределения ПИ от одного электрона вблизи угла $\vartheta = \pm \pi/4$.

Положительные значения ϑ соответствуют ПИН, отрицательные – ПИВ.

Штриховая кривая на рис. 11 соответствует угловому распределению ПИ от сферического сгустка при $\lambda/\gamma = 4$ и $\psi = \pi/8$. Характер углового распределения ПИ практически совпадает с угловым распределением ПИ от сгустка цилиндрической формы, представленным сплошной линией на рис. 5. Штриховая кривая на рис. 10 соответствует угловому распределению ПИ при $\vartheta > (\pi/2 - \psi) + \gamma^{-1}$ интенсивность ПИН в направления $\vartheta > (\pi/2 - \psi) + \gamma^{-1}$ в данном случае убывает быстрее, чем в случае представленном на рис. 11. Это можно объяснить тем, что при уменьшении угла ψ , поперечные размеры сгустка оказывают меньшее влияние на излучения в направления $\vartheta > (\pi/2 - \psi) + \gamma^{-1}$.

Угловые характеристики ПИ, представленные сплошными линиями на рис. 10 и 11 практически не отличаются и соответствуют $\lambda/\gamma = 0,8$. Необычный характер углового распределения ПИ можно объяснить на основе квазичеренковского механизма ПИ (см. ниже).

На рис. 15–19 представлены угловые характеристики сгустка конической формы. Как и в предыдущих случаях, угловое распределение КПИ от конического сгустка, рассчитанное для длины волны $\lambda = 4\gamma$, представленное на рис. 15, практически не отличается от углового распределения ПИ от одного электрона вблизи угла $\vartheta = \pm \pi/4$, поскольку длина волны значительно превышает длину сгустка.

Однако для других длин волн, угловое распределение ПИ от сгустка конической формы может значительно отличаться от углового распределения излучения от одного электрона.

В угловом распределении КПИ от сгустка конической формы, наряду с основным максимумом в угловом распределении могут присутствовать дополнительные максимумы под большими углами (много больше γ^{-1}) относительно импульса электрона (для ПИВ) или относительно направления зеркального отражения (для ПИН).

4. Квазичеренковский механизм когерентного переходного излучения

По мере $\alpha \rightarrow \infty$ сжатия сгустком границы раздела сред, размер излучающей области меняется. В некоторых случаях скорость изменения излучающей области может превышать скорость света. Таким образом, в угловом распределении КПИ должна присутствовать составляющая, вызванная сверхсветовой скоростью изменения излучающей области.

Известно, что направление излучения Чerenкова определяется из условия $\cos \eta = c/v$,

где c – скорость света в вакууме, v – скорость изменения излучающей области.

Рассмотрим сгусток цилиндрической формы, пересекающий наклонную границу раздела сред. Если $l \ll r$, то в первые моменты времени размер излучающей области $\sim x \sin \psi$ и граница А (см. рис. 3) движется со скоростью v до тех пор, пока излучающая область не достигнет максимального размера. Граница В в это

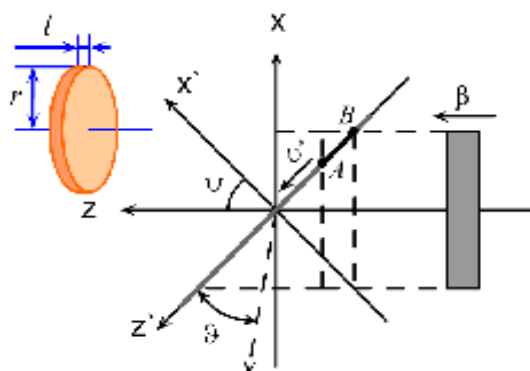


Рис. 3. Цилиндрический сгусток

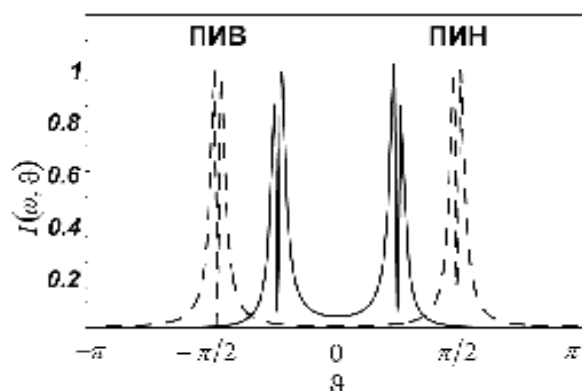


Рис. 4. Угловое распределение КПИ от цилиндрического сгустка: $l=5r$; $\lambda/l=2$. Сплошная линия для $\psi=\pi/4$, штриховая для $\psi=0$

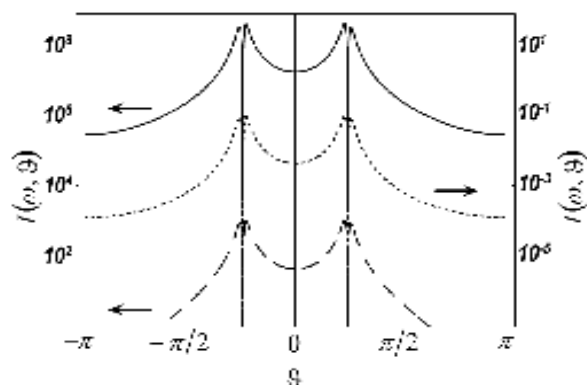


Рис. 5. Угловое распределение КПИ от цилиндрического сгустка: $\psi=\pi/4$, $l=5r$. Сплошная линия для $\lambda/l=2$, $\lambda/r=10$, штриховая для $\lambda/l=1$, $\lambda/r=5$. Пунктирная линия – КПИ от одного электрона

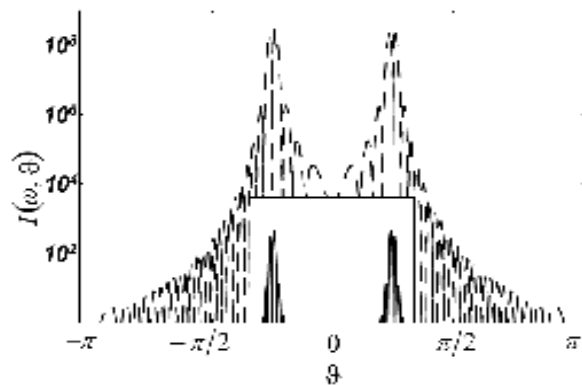


Рис. 6. Угловое распределение КПИ от цилиндрического сгустка: $\psi=\pi/4$, $l=0,1r$. Сплошная линия для $\lambda/l=1$, $\lambda/r=0,1$, штриховая для $\lambda/l=2$, $\lambda/r=0,2$

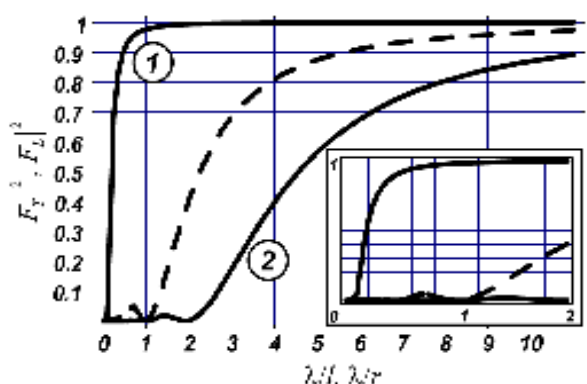


Рис. 7. Продольная и поперечная составляющая фактора сгустка при фактора $s_J = (p/2 - y) + g^{-1}$. Сплошная линия F_r , штриховая F_z . При: 1) $s_J = (p/2 - y) + g^{-1}$; 2) $s_J = (p/2 - y) + g^{-1}$. Штриховая – $|F_z|^2$

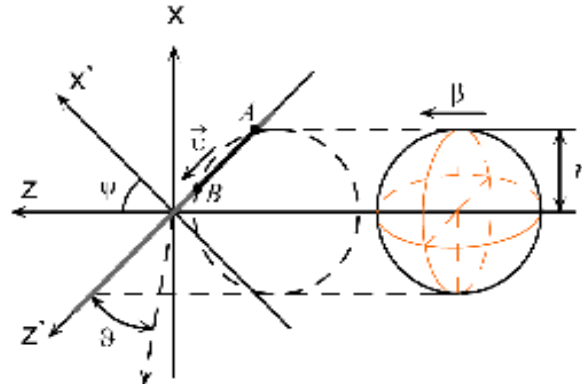


Рис. 8. Сферический сгусток

время остается неподвижной. Далее, в течение некоторого промежутка времени размер излучающей области остается неизменным. Затем излучающая область уменьшается, и граница В движется со скоростью v , а граница А остается неподвижной.

Если $l \ll r$, можно считать, что $v = \frac{\beta c}{\sin \psi}$. Запишем выражение для скорости

Согласно $\eta = \arccos\left(\frac{\cos(\pi/2 - \psi)}{\beta}\right) \approx \pi/2 - \psi$, лова-Черенков

что с хорошей точностью соответствует направлению максимумов для ПИВ и ПИН.

Рассмотрим сферический сгусток, пересекающий наклонную границу раздела сред (см. рис. 8). В первые моменты времени размер излучающей области продолжает расти до того момента, пока центр сгустка не пересечет границу раздела. Затем размер излучающей области начинает уменьшаться. Границы А и В движутся в противоположном направлении. Скорости движения границ излучающей области равны

$$v_A = \frac{\beta c}{\sin \psi} - \frac{c}{\sqrt{2\rho\xi' - \xi'^2}}, \quad v_B = \frac{\beta c}{\sin \psi} + \frac{c}{\sqrt{2\rho\xi' - \xi'^2}}.$$

Положительные значения скорости v_A, v_B соответствуют движению границ излучающей области $\zeta'(\zeta'_A, \zeta'_B \uparrow \uparrow \zeta')$ впадающем с направлением осей $\zeta'(\zeta'_A, \zeta'_B \uparrow \uparrow \zeta')$. Отрицательные значения скорости v_A, v_B соответствуют движению границ излучающей области $\zeta'(\zeta'_A, \zeta'_B \downarrow \downarrow \zeta')$ в противоположном направлении осей $\zeta'(\zeta'_A, \zeta'_B \downarrow \downarrow \zeta')$.

Направление квазичеренковской составляющей КПИ по мере прохождения сферическим сгустком границы раздела сред показано на рис. 20.

Рассмотрим сгусток конической формы, пересекающий наклонную границу раздела сред (см. рис. 14). В случае, если $\psi > \xi$, границы излучающей области А и В движутся в направлении $\zeta'(\zeta'_A, \zeta'_B \uparrow \uparrow \zeta')$. В противном случае $\zeta'(\zeta'_A, \zeta'_B \downarrow \downarrow \zeta')$.

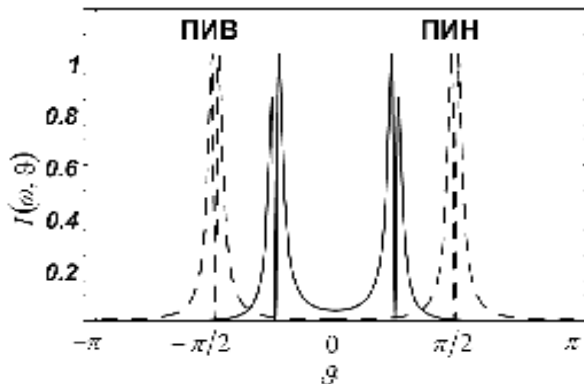


Рис. 9. Угловое распределение КПИ от сгустка сферической формы: $\lambda/\tau=4$. Сплошная линия для $\psi=\pi/4$, штриховая для $\psi=0$

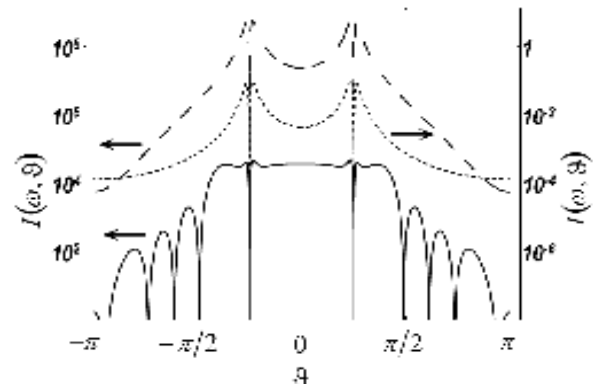


Рис. 10. Угловое распределение КПИ от сгустка сферической формы: $\psi=\pi/4$. Сплошная линия для $\lambda/\tau=0,8$, штриховая для $\lambda/\tau=4$. Пунктирная линия – КПИ от одного электрона

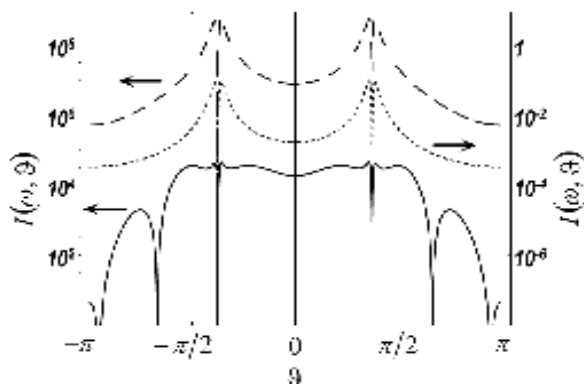


Рис. 11. Угловое распределение КПИ от сгустка сферической формы: $\psi=\pi/8$. Сплошная линия для $\lambda/\tau=0,8$, штриховая для $\lambda/\tau=4$. Пунктирная линия – КПИ от одного электрона

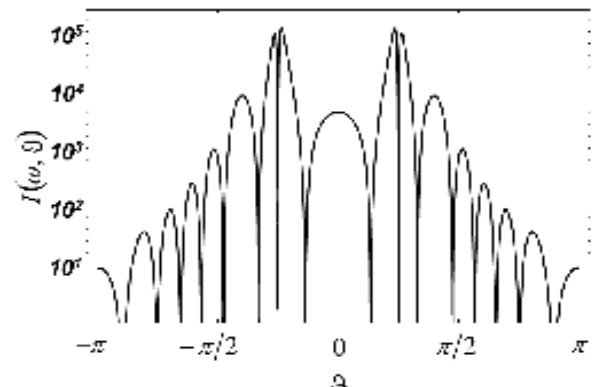


Рис. 12. Угловое распределение КПИ от сгустка сферической формы: $\psi=\pi/4$, $\lambda/\tau=0,6$

В случае, если $\psi < \xi$, граница А излучающей области движется в направлении, противоположном направлению ос z , а граница В движется в направлении, противоположном направлению ос z .

$$v_{A1}^{x,z} = \frac{\beta \gamma z}{\cos \psi (\lambda - \beta \tan \psi)}, v_{B1}^{x,z} = \frac{\beta \gamma z}{\cos \psi (\beta \tan \psi + \lambda)}$$

В случае, если $\psi > \xi$, граница А излучающей области движется в направлении, противоположном направлению ос z , а граница В движется в направлении, противоположном направлению ос z .

$$v_{A1}^{x,z} = \frac{\beta \gamma z}{\cos \psi (\lambda - \beta \tan \psi)}, v_{B1}^{x,z} = \frac{\beta \gamma z}{\cos \psi (\beta \tan \psi + \lambda)}$$

На рис. 16–19 представлены результаты расчетов углового распределения КПИ от сгустка конической формы. Как показали расчеты, наряду с основным максимумом в угловом распределении сгустка конической формы присутствуют дополнительные максимумы, в направлениях отличных от γ^{-1} . Наличие дополнительных максимумов в угловом распределении можно трактовать как проявление квазичеренковского механизма КПИ.

Можно убедиться, что направления дополнительных максимумов в угловом распределении КПИ от сгустка конической формы согласуются с усло-

вием (8). Так, направление максимума (1) на рис. 16 соответствует точке (1) на рис. 21, направление максимума (2) на рис. 17 соответствует точке (2) на рис. 22. Максимумы (3) и (5) обусловлены сверхсветовым движением границы А излучающей области в направлении, противоположном направлению ос z , а направление квазичеренковской составляющей $\theta = \pi - \eta$.

Таким образом, следует ожидать, что эффект, аналогичный эффекту Вавилова-Черенкова может проявляться в когерентном переходном излучении. Интенсивность квазичеренковской составляющей КПИ для перпендикулярной границы раздела сред значительно меньше интенсивности основного максимума углового распределения КПИ, тогда как для наклонной мишени и для асимметричного распределения электронов в сгустке этот эффект может наблюдаться для углов излучения, значительно превышающих характерный угол γ^{-1} [6].

Заключение

При некоторых параметрах сгустков угловые характеристики КПИ от наклонной мишени могут существенно отличаться от КПИ одного электрона. Как показали расчеты, наряду с максимумами ПИВ и ПИН в угловом распределении КПИ могут присутствовать

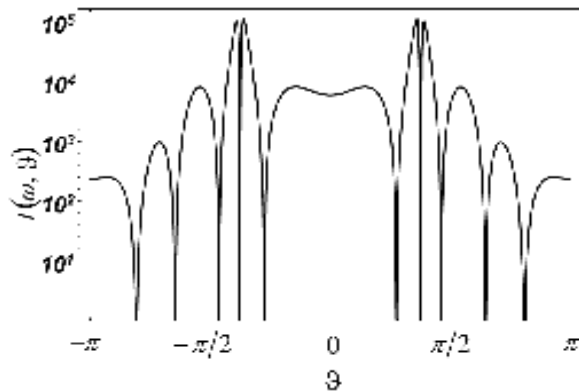


Рис. 13. Угловое распределение КПИ от сгустка сферической формы: $\psi = \pi/8$, $\lambda/l = 0,6$

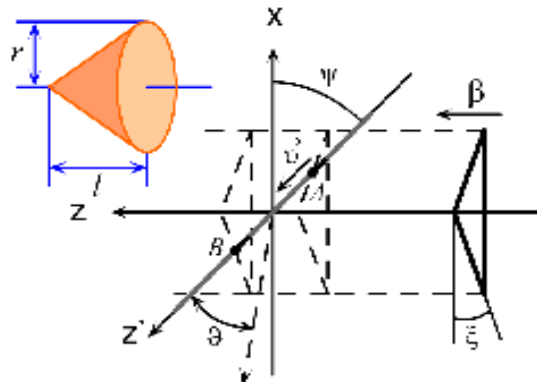


Рис. 14. Сгусток конической формы

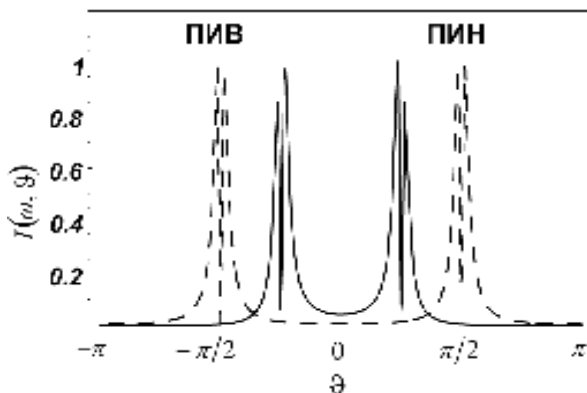


Рис. 15. Угловое распределение КПИ от сгустка конической формы: $\lambda/l = 4$. Сплошная линия для $\psi = \pi/4$, штриховая для $\psi = 0$

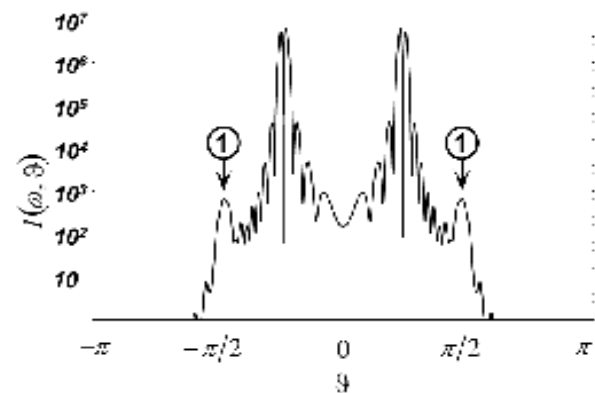


Рис. 16. Угловое распределение КПИ от сгустка конической формы: $\psi = \pi/4$, $l = r$, $\lambda/l = 0,2$

дополнительные максимумы под углами значительно превышающими γ^{-1} . Наличие максимумов в угловом распределении можно трактовать как проявление квазичеренковского механизма КПИ. Однако, интенсивность квазичеренковских максимумов значительно ниже, чем интенсивность максимумов ПИВ (ПИН).

СПИСОК ЛИТЕРАТУРЫ

1. Гинзбург В.Л., Цытович В.Н. Переходное излучение⁽⁸⁾ и переходное рассеяние. – М.: Наука, 1984. – 360 с.
2. Shibata Y. et al. Coherent transition radiation in the far-infrared region // Phys. Rev. E. – 1994. – V. 49. – № 1. – P. 785–793.
3. Schneider Gi. et al. Comparison of electron bunch asymmetry as measured by energy analysis and coherent transition radiation // Phys. Rev. E. – 1997. – V. 56. – № 1. – P. 785–793.
4. Watanabe T. et al. Overall comparison of subpicosecond electron beam diagnostics // Nucl. Instr. and Meth. in Phys. Res. – 2002. – V. A480. – P. 315–327.
5. Болотовский Б.М., Серов А.В. Переходное излучение от протяженной системы зарядов // Журнал технической физики. – 2002. – Т. 72, вып. 1. – С. 3–7.
6. Serov A.V. et al. Properties of coherent transition radiation from an electron bunch accelerated in microtron // Nucl. Instr. and Meth. in Phys. Res. – 2003. – V. B201. – P. 91–96.
7. Aleinik A.N. et al. Low-energy electron-beam diagnostics based on the optical transition radiation // Nucl. Instr. and

Meth. in Phys. Res. – 2003. – V. B201. – P. 34–43.

8. Гарибян Г.М., Ян Ши. Рентгеновское переходное излучение. – Ереван: Изд-во АН АрмССР, 1983. – 320 с.

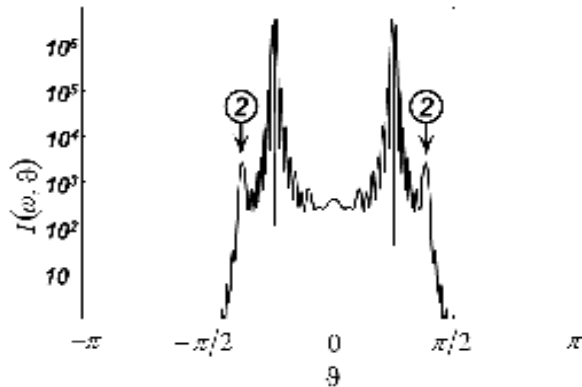


Рис. 17. Угловое распределение КПИ от сгустка конической формы: $\psi=\pi/4$, $l=0,5r$, $\lambda/l=0,2$

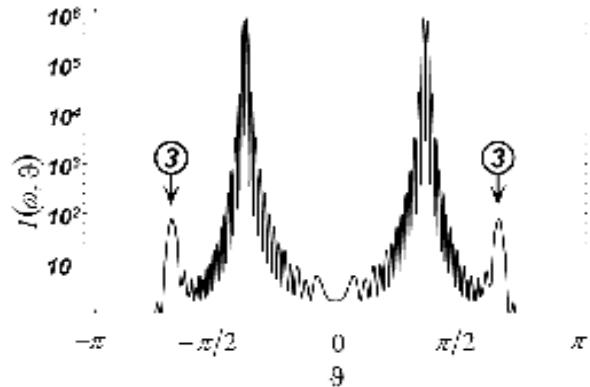


Рис. 18. Угловое распределение КПИ от сгустка конической формы: $\psi=\pi/4$, $l=r$, $\lambda/l=0,1$

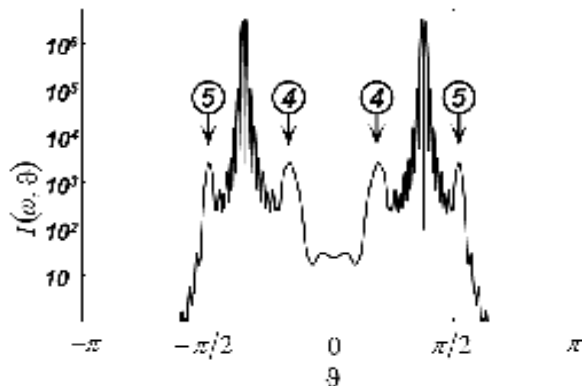


Рис. 19. Угловое распределение КПИ от сгустка конической формы: $\psi=\pi/4$, $l=0,5r$, $\lambda/l=0,2$

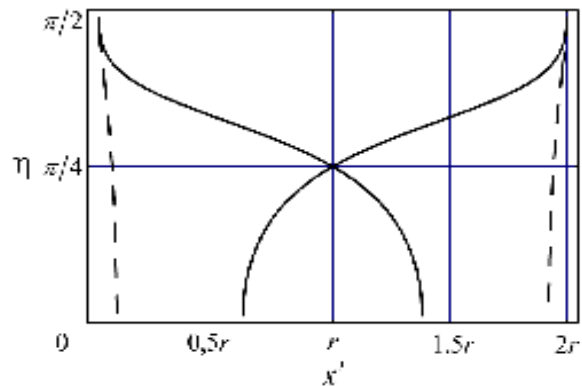


Рис. 20. Направление квазичеренковской составляющей КПИ по мере прохождения сферическим сгустком наклонной границы раздела сред ($\psi=\pi/4$). Сплошная линия для $v_A^{\text{sph}}, v_B^{\text{sph}} \uparrow$, штриховая для $v_A^{\text{sph}}, v_B^{\text{sph}} \downarrow z'$

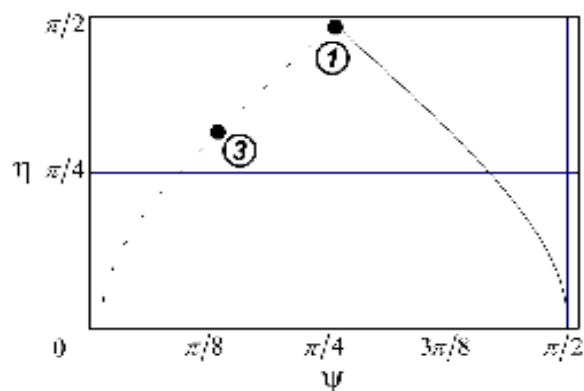


Рис. 21. Направление квазичеренковской составляющей КПИ от сгустка конической формы в зависимости от угла наклона мишени для $l=g$. Сплошная линия соответствует v_A^{Con} , штрихпунктирная – v_{A1}^{Con}

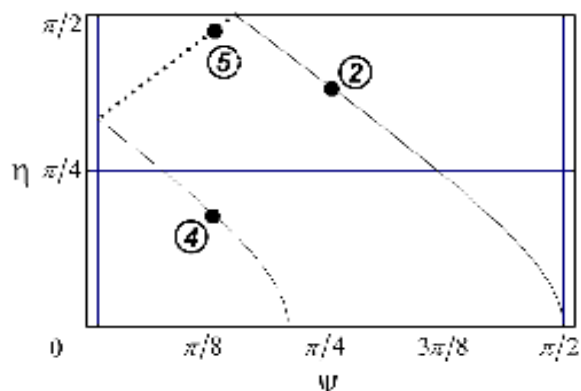


Рис. 22. Направление квазичеренковской составляющей КПИ от сгустка конической формы в зависимости от угла наклона мишени для $l=0,5g$. Сплошная линия соответствует v_A^{Con} , штриховая – v_B^{Con} , пунктирная – v_{A1}^{Con}